

# ISING PROJECT

---

БОНДАРЬ РОМАН  
ПЯТКИН СТАНИСЛАВ  
СЕМЕНЕНКО АЛЕКСАНДР

ЕФПМИ

Долгопрудный 2020

## Содержание

<b>1 Введение</b>	<b>2</b>
1.1 Цель проекта . . . . .	2
1.2 Краткое описание . . . . .	2
<b>2 Теория</b>	<b>3</b>
2.1 Описание модели . . . . .	3
2.2 Алгоритмы модели . . . . .	4
2.2.1 Heat bath algorithm . . . . .	4
2.2.2 Cluster algorithm . . . . .	4
2.3 Работа алгоритмов . . . . .	5
<b>3 Инструкция по использованию</b>	<b>7</b>
3.1 Технические требования . . . . .	7
3.2 Сборка проекта . . . . .	7
3.3 Пример работы . . . . .	7
<b>4 Реализация</b>	<b>8</b>
4.1 Распределение обязанностей . . . . .	8
<b>5 Средства разработки</b>	<b>8</b>
<b>Список источников</b>	<b>8</b>

## 1 Введение

### 1.1 Цель проекта

Смоделировать фазовый переход с помощью двумерной модели Изинга (математическая модель, предназначенная для описания намагничивания материала). Исследовать её поведение при различных температурах, а также создать удобный графический интерфейс для визуализации модели в работе.

### 1.2 Краткое описание

Каждому узлу кристаллической решетки сопоставляется число, равное  $\pm 1$  («направление вверх»/«направление вниз»). С помощью программы в реальном времени можно наблюдать, как эволюционирует модель. От внешних условий будет зависеть ориентация спинов, а именно будет ли она у всех одинакова или хаотически распределена.

## 2 Теория

### 2.1 Описание модели

Состояние модели полностью описывается значениями спинов в узлах решетки, и несколькими дополнительными параметрами. Значения спинов и их количество хранится в объекте базового класса **lattice**:

**lattice::N** - число спинов.

**lattice::L** - массив из  $N$  значений спинов  $\sigma_i$ .

**lattice::nbrs** - степень узла решетки (число соседей каждого спина).

Параметры модели и симуляции хранятся в объекте класса **parameters**:

**parameters::beta** - величина  $\beta$ , обратная температуре:

$$\beta = \frac{1}{kT} \quad (1)$$

**parameters::J** - энергия взаимодействия соседних в решетке спинов.

**parameters::H** - внешнее магнитное поле  $H$ .

**parameters::mu** - магнитный момент спина  $\mu$ .

Каждому состоянию  $S$  из  $2^N$  возможных приписывается энергия, равная:

$$E(S) = -J \sum_{i,j-\text{neighbors}} \sigma_i \sigma_j - H \sum \mu \sigma_i \quad (2)$$

Алгоритм симуляции **heat\_bath\_simulate** предельно прост:

- Выбрать произвольный спин  $\sigma$ .
- Присвоить  $\sigma = +1$  вероятностью  $\pi_h^+$ , и  $-1$  с вероятностью  $(1 - \pi_h^+)$ .
- Повторить  $N \cdot \text{steps}$  раз.

$\pi_h^+$  можно вычислить, используя распределение Гиббса по энергиям:

$$p(S) \sim e^{-\beta E(S)} \quad (3)$$

$$\pi_h^+ = \frac{e^{-\beta E^+}}{e^{-\beta E^+} + e^{-\beta E^-}}$$

где  $E^+$  и  $E^-$  - энергии состояний, в которых  $\sigma = +1$  и  $-1$  соответственно.

Количество шагов алгоритма **steps** берется достаточное, чтобы система пришла в термодинамическое равновесие.

Однако вблизи температуры фазового перехода  $\beta_c$ , сказывается так называемый “эффект критического замедления”, когда **steps**  $\rightarrow \infty$ , и **heat\_bath\_simulate** неэффективен.

Для преодоления этого эффекта реализован алгоритм **clusters\_simulate**.

В отличие от **heat\_bath\_simulate**, спины переворачиваются не поодиночке, а кластерами. Вот краткое описание его работы:

- Начать собирать кластер с произвольного спина  $\sigma$ .

- Добавлять в кластер соседние спины того же знака, что и  $\sigma$ , с вероятностью  $\pi(\beta)$ , и по завершении перевернуть кластер.
- Повторить **steps** раз.

Подробнее оба алгоритма и их реализация описаны в следующем разделе.

## 2.2 Алгоритмы модели

### 2.2.1 Heat bath algorithm

Алгоритм достаточно прост, и вся его смысловая часть заключена в трех строчках внутри двойного цикла.

Был значительно оптимизирован подсчет  $\pi_h^+$ :

$$\pi_h^+ = \frac{e^{-\beta E^+}}{e^{-\beta E^+} + e^{-\beta E^-}} = \frac{1}{1 + e^{-2J\beta h - \mu H}}$$

где  $h$  - сумма спинов соседей (высчитывается методом **sum\_nbr**).

Также, поскольку  $h \in [-\mathbf{nbrs}, +\mathbf{nbrs}]$ , то число возможных значений  $\pi_h^+$  ограничено, и равно  $1 + 2 \cdot \mathbf{nbrs}$ . Все возможные вероятности записываются в массив **prob\_arr** перед началом алгоритма.

```
void Monte_Carlo::heat_bath_simulate(lattice *l, int steps) const
{
    int rand_spin, prob, nbrs = l->getnbrs(), *L = l->getL(), N = l->getN();
    int prob_arr[1 + 2 * nbrs]; // Массив всех возможных вероятностей

    for (int i = -nbrs; i <= nbrs; ++i) // Заполнение массива
        prob_arr[i + nbrs] = RAND_MAX / (1 + exp(-2 * beta * i - mu * H));

    for (int i = 0; i < steps; ++i)
    {
        for (int j = 0; j < N; ++j)
        {
            rand_spin = big_rand() % N; // Выбрать произвольный спин
            prob = prob_arr[l->sum_nbr(rand_spin) + nbrs]; // Взять высчитанную ранее вероятность
            L[rand_spin] = def_spin(prob); // Присвоить +1 или -1
        }
    }
}
```

Рис. 1: Алгоритм **heat\_bath\_simulate**

### 2.2.2 Cluster algorithm

В алгоритме **cluster\_simulate** спины переворачиваются кластерами, что весьма ускоряет процесс симуляции.

Создание кластера **Cluster** начинается с выбора произвольного спина. Он кладется в **Cluster** и в дополнительный список **Pocket**. В **Pocket** хранятся спины, чьи соседи еще не обработаны алгоритмом.

Для каждого спина из **Pocket**, рассматриваются его соседи того же знака, и с вероятностью **prob** добавляются в **Cluster**.

Когда **Pocket** пуст, создание кластера прекращается, и все спины в нем меняют знак.

Вероятность **prob** берется равной:

$$\pi(\beta) = 1 - e^{-2\beta} \quad (4)$$

```
void Monte_Carlo::clusters_simulate(lattice *l, int steps) const {
    int spin, nbrs = l->getnbrs(), nbr_arr[nbrs], *L = l->getL(), N = l->getN();
    int prob = RAND_MAX * (1 - exp(-2 * beta)); // Магическое число

    for (int j = 0; j < steps; ++j)
    {
        spin = big_rand() % N; // Произвольный выбор спина
        vector<int> Cluster {spin}, Pocket {spin}; // Кладем его в кластер и в карман

        while (!Pocket.empty())
        {
            spin = Pocket[big_rand() % Pocket.size()]; // Произвольный выбор из кармана
            l->getnbrs(spin, nbr_arr); // Получить соседей спина

            for (int i = 0; i < nbrs; ++i) // Проверить всех соседей
            {
                if (L[spin] == L[nbr_arr[i]] && // Если спин соседа совпадает
                    !vcontains(Cluster, nbr_arr[i]) && // и его еще нет в кластере,
                    rand() < prob) // то с вероятностью prob
                {
                    Pocket.push_back(nbr_arr[i]); // Добавление в карман
                    Cluster.push_back(nbr_arr[i]); // Добавление в кластер
                }
            }
            vdel(Pocket, spin); // Удалить из кармана
        }
        for (auto i = Cluster.begin(); i != Cluster.end(); ++i)
            L[*i] = - L[*i]; // Переворот кластера
    }
}
```

Рис. 2: Алгоритм `clusters_simulate`

## 2.3 Работа алгоритмов

Для анализа работы алгоритма `heat_bath_simulate` и поведения системы можно построить график средней намагниченности **avg\_magn** от обратной к температуре величины **beta**.

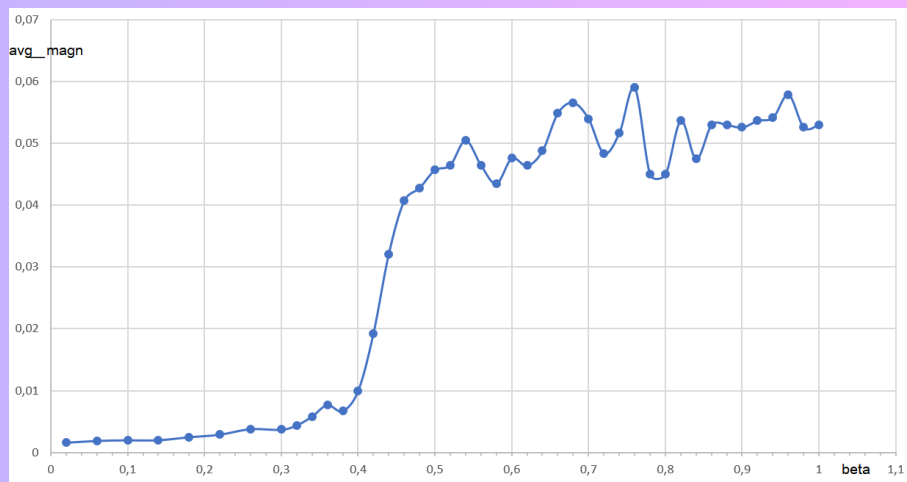


Рис. 3: График средней намагниченности **avg\_magn** от **beta**

На промежутке  $[0.4; 0.5]$  - фазовый переход: наблюдается резкое повышение средней намагниченности. Это говорит о том, что спины группируются в более-менее постоянные области одного знака.

С использованием алгоритма **clusters\_simulate** можно подробнее изучить область, где происходит фазовый переход: На более подробном графике видно,

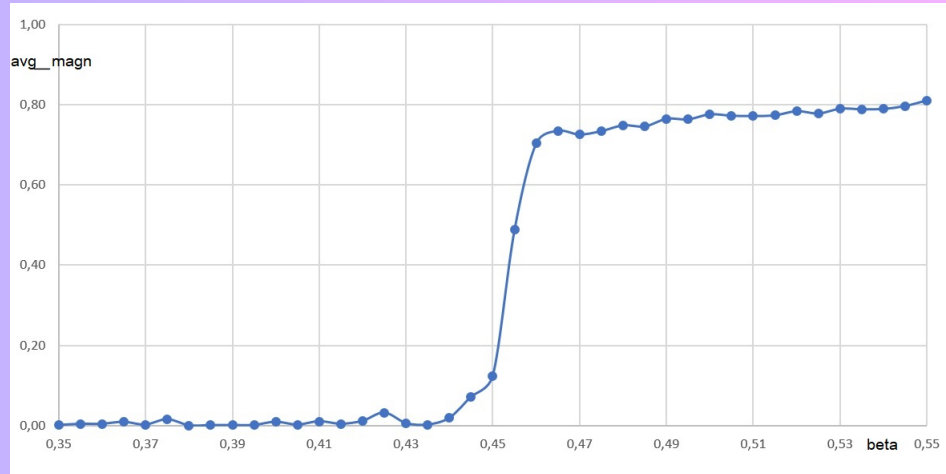


Рис. 4: График средней намагниченности avg\_magn от beta

что скачок происходит при  $\mathbf{beta} \in [0.44; 0.46]$ , что согласуется с полученным аналитически Л. Осагнером значением

$$\beta_c = \frac{\ln(1 + \sqrt{2})}{2J} \approx 0.44$$

## 3 Инструкция по использованию

### 3.1 Технические требования

Версия Qt 5.14.1, компилятор C++ 11.

### 3.2 Сборка проекта

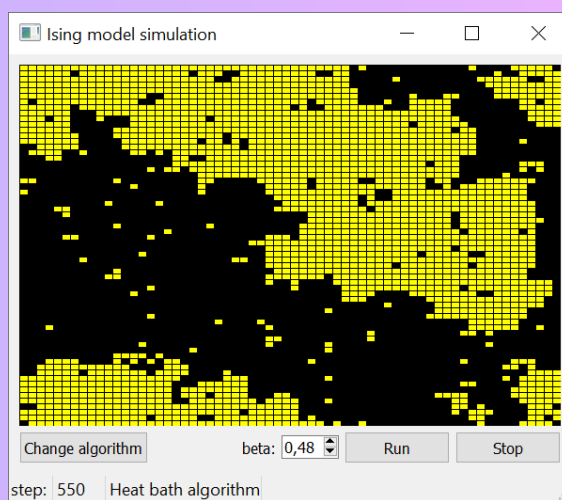
Windows 10:

1. Клонировать репозиторий с [github.com/gitrbond/ising\\_project](https://github.com/gitrbond/ising_project)
2. Убедиться, что qmake, make и windeployqt в PATH, перейти в директорию проекта (файл .pro)
3. qmake
4. make
5. windeployqt . (при необходимости)
6. ising\_model.exe

Linux:

1. qmake
2. make
3. linuxdeployqt . (при необходимости)
4. ./ising\_model

### 3.3 Пример работы



ising\_model.exe

## 4 Реализация

### 4.1 Распределение обязанностей

- Бондарь Роман → Автор идеи и структуры проекта; Реализация алгоритмов; Создание графического интерфейса; Построение графиков;
- Пяткин Станислав → Автоматизация вычисления заданных точек для графика; Исследование полученных графиков и подбор параметров вычисления для получения наиболее подходящего(близкого к теории) графика за минимальное время; Вычисление большой решётки; Создание 3D решётки; Предложил несколько оптимизаций в simulate.
- Семененко Александр → Создание документации; Имплементация разных типов решеток; Поддержка безопасности работы программы; Реализация типовой решётки; Подбор теоретической справки.

## 5 Средства разработки

Язык программирования C++. Среды: CodeBlocks, CLion, Visual Studio.  
Графический интерфейс реализован с помощью Qt в среде QtCreator.

## Список источников

- [1] Werner Krauth : Statistical Mechanics : Algorithms and Computations
- [2] Jesper Jacobsen, Stephane Ouvry : Exact Methods in Low-dimensional Statistical Physics and Quantum Computing - 2008
- [3] Wikipedia : Ising model
- [4] А.В.Третьяков : drawing 6.4E1 (A simple GUI popular-scientific drawing framework)